

京都大学大学院工学研究科 正会員 ○沖 和哉
 クボタ 大津信彦
 京都大学大学院工学研究科 フェロー 酒井哲郎

1.はじめに

海底地滑りなどの海底移動に伴って発生する波浪（津波）は、頻度は低いものの大きな被害をもたらす場合がある。このような海底移動によりどのように波浪が発生するかを把握しておくことは非常に重要であると考えられる。本研究では、水路の水平床上に台形状の剛体を設置し、物体の移動する速さおよび距離を変化させることにより発生する波浪の水理特性を調べた。

2.実験概要

本研究で用いた実験装置を図-1に示す。水路は、長さ6m（観測部4.4m）、幅10cm、高さは観測部で20cm（観測部外では10cm）で、厚さ約1cmのアクリル製である。水深は10cmとした。海底移動を再現するためには大小二つのモルタル製の台形状物体を用いて実験を行った。各物体の寸法は、大物体（以下物体Bとよぶ）が上底8.8cm、下底17.7cm、高さ5.8cmで、小物体（以下物体Sとよぶ）が上底10.7cm、下底17.9cm、高さ3.65cmである。幅は物体B、S共に水路の幅より若干小さい程度である。物体の移動方向前面にはその運動や水に対する影響が無視できる程度の糸が取り付けてあり、その糸の他端には滑車を通して質量が可変のおもりが取り付けてある。おもりの質量を変えることで物体の加速度を変化させることができる。また、おもりの落下距離も自由に制御できるようになっており、おもりの落下距離を変えることによって物体の移動距離を変化させ、波を発生させた。おもりの落下距離は20cmと40cmの2種類とし、それぞれの距離に対して物体Bについては500gから2000gまで、物体Sについては400gから1800gまで100gずつおもりの重さを変化させて実験を行った。容量式波高計を物体の移動方向前方に3つ、後方に1つ設置し、水位変動データをA-D変換器を介してパソコンに取り込んだ。物体の運動の様子は水路の側面からデジタルビデオカメラで撮影した。波高計の設置位置は図-1に示す通りであるが、波高計3は水路左端から140cmのところにあり、波高計1と波高計2の間隔を40cm、波高計2と波高計3の間隔を80cmとした。また、波高計4は水路右端より127cmのところにある。反射波の影響を考慮して、本研究では第1波の最大最小水位のみに着目した。

3.実験結果および考察

まず、代表的なケースとしておもさ800gと1600gの条件での物体B、Sそれぞれの移動速度変化を図-2.1、2.2に示す。撮影した画像をパソコンに取り込み0.1秒ごとの物体の位置を追跡することにより物体の移動速度を求めた。実験装置の構造上、物体の初期位置を各実験ケースで厳密にそろえることができなかつたため、物体が動き始める時刻を基準にしてプロットしてある。また物体Sでおもり1600g、落下距離20cmのケースについては移動距離が大きく、撮影可能な範囲の外へ移動したため、データが欠損している。物体の移動形態には加速から減速へ切り替わる運動と、加速後一定の速度（終端速度）で運動し、おもりの着地と同時に減速へと切り替わる運動の2種類あることがわかる。

次に波高計1における水位変動を図-3.1、3.2に示す。それぞれ最大水位に達した時刻を1.0秒としてプロッ

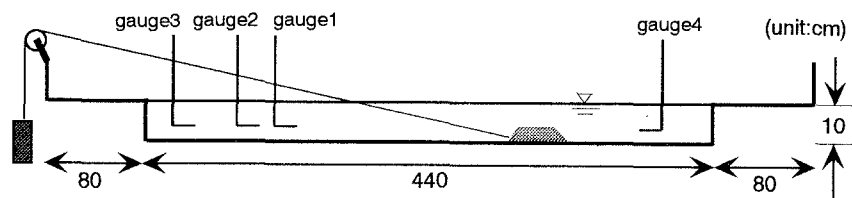


図-1 実験装置

トした。図-2.1, 2.2 と比較すると、終端速度で移動する時間が長いほど水位変動のピークが平らになっている時間も長いことがわかる。なお、どの実験ケースにおいても発生した波浪は碎波していない。各計測地点（波高計 4 は除く）における最大水位を調べてみると、おもりが重くなるにつれ、すなわち移動加速度が大きくなるにつれ最大水位は線形的に増大していた。上述の 2 種類の運動形態による違いは見られなかった。また、最大水位の伝播速度も同様に増大していた。

最後に、波高計 1 および波高計 2 で計測された最大水位に対する最小水位の絶対値の比を図-4.1, 4.2 に示す。（波高計 3 に関しては反射波の影響により信憑性のあるデータを計測することができなかった。）物体の移動速度が大きくなるにつれ最大水位と最小水位の比が一定値に漸近していく様子がわかる。Wiegel(1955) の実験では 1:3 なるとしているが、移動する物体の大きさにより収束する値が異なるものと考えられる。

4.おわりに

本研究では海底移動に伴う波浪の発生に関する実験を行い、移動する物体の大きさ、速さによって発生する波浪がどのように変化するかについて調べた。実験装置の制約により、実現象での水深と海底移動スケールの比や移動速度があまり合わないような条件での実験になってしまったため、今後はより大きな水路を用いて相似則を合わせて実験を行う必要がある。また、移動する物体の後方では気泡が発生することはあつたが水位変動は計測しがたいほど微小なものであった。物体の前方とは異なるメカニズムが存在する可能性もあるため、この点も今後検討すべき課題である。

参考文献

Wiegel, R. L.: Laboratory studies of gravity waves generated by the movement of a submerged body, *Transactions American Geophysical Union*, vol.36(5), pp.759-774, 1955.

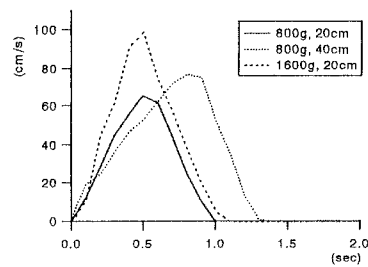


図-2.1 移動速度（物体 S）

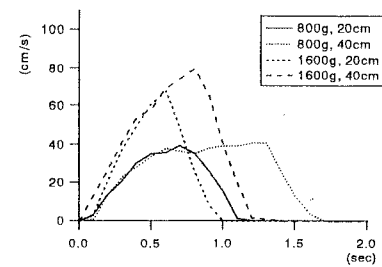


図-2.2 移動速度（物体 B）

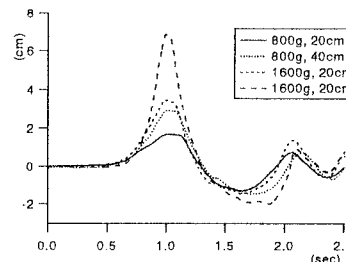


図-3.1 水位変動（物体 S）

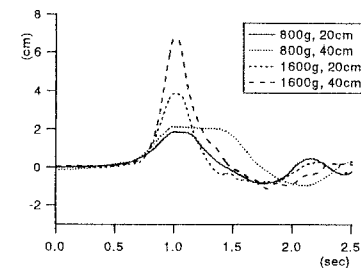


図-3.2 水位変動（物体 B）

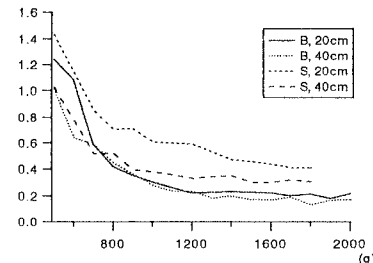


図-4.1 最大最小水位の比（波高計 1）

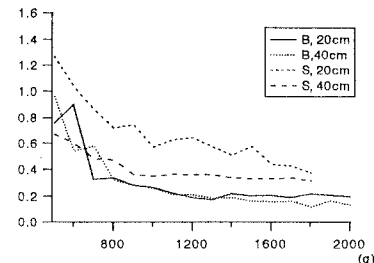


図-4.2 最大最小水位の比（波高計 2）